

《环境空气质量预报预警技术规范》

编制说明

《环境空气质量预报预警技术规范》 标准编制组

二〇二〇年九月

项目名称：环境空气质量预报预警技术规范

项目统一编号：

承担单位：深圳市环境监测中心站

暨南大学

生态环境部华南环境科学研究所

编制组主要成员：深圳市环境监测中心站

刘婵芳 高级工程师

何龙 教授级高工

何鹏飞 工程师

黄剑 工程师

暨南大学

王雪梅 教授

王伟文 副教授

常鸣 讲师

生态环境部华南环境科学研究所

张毅强 副研究员

汪云卿 助理工程师

刘伟民 高级工程师

费蕾蕾 博士

刘斌 助理工程师

标准所技术管理负责人：

环境空气质量预报预警技术规范

编制说明

1 项目背景

1.1 任务来源

为加强国家环境保护工作的需要，2019 年中国环境监测总站发布了《关于征集 2020 年环境监测类标准制修订项目建议的通知》（总站科技字[2019]35 号）及深圳市市场和质量监督管理委员会发布了《深圳市市场和质量监督管理委员会关于开展 2019 年深圳市地方标准制修订计划项目征集工作的通知》（深市质[2019]50 号）；为规范现行的深圳市环境空气质量预报预警工作方案，建立科学客观的、适合本地的、可操作性强的深圳市空气质量预报预警地方标准，帮助环境管理部门规范全市空气质量预报流程进而及时制定有效的应急管理措施，提高社会公众对本地环境质量预报方法和信息发布机制的认识。2019 年由深圳市环境监测中心站牵头与暨南大学、生态环境部华南环境科学研究所（以下简称“华南环科所”）联合开展《环境空气质量预报预警技术规范》的编写工作。

1.2 工作过程

（1）成立标准编制小组

深圳市环境监测中心站、暨南大学与华南环境科学研究所接到标准修订任务后，于 2019 年 6 月成立了标准编制组，专门承担此项标准的研究修订工作。

（2）收集国内外相关资料

根据深圳市标准修订项目的相关要求，编制组于 2019 年 7 月底完成标准相关国内外文献案例和历史监测数据的收集整理工作，了解国内外相关空气质量预警预报的研究进展以及相关预警预报技术方法，为撰写该技术规范提供详实的资料调研和摸底工作。

（3）确定标准大纲

2019年9月20日深圳市环境监测中心站在该站108会商室召开编写组会议，讨论了标准大纲的内容编写细则，对主要修订内容中涉及的技术方法、空气质量预警预报工作流程及预报成效评估等方面进行了初步研究和探讨，通过构建近3年深圳市大气污染案例库，对典型污染案例的天气形势进行分型，确定关键污染物的预报预警的技术规范。

(4) 完成征求意见稿及编制说明

2020年3月13日编制组将《环境空气质量预报预警技术规范》(初稿)及编制说明报深圳市监测中心站审核，并根据审核意见对标准及编制说明进行修改完善，2020年3月28日，在深圳市环境监测中心站邀请内部专家进行了评估，形成了《环境空气质量预报预警技术规范》(征求意见稿)及编制说明。

(5) 公开征集意见

2020年4月9日-5月5日，通过深圳市生态环境局深圳市生态环境网民意征集门户网对《环境空气质量预报预警技术规范(征求意见稿)》进行了公开征求意见；标准编制组已针对本标准收集的所有书面意见进行整理、讨论和分析，并在网上进行公开回复。网页截图如下，具体意见请看附件。

深圳市生态环境局 绿水青山，就是金山银山

当前位置： 首页 > 深圳市生态环境局网站_公开目录

深圳市环境监测中心站关于公开征求《深圳市环境空气质量预报预警技术规范(征求意见稿)》意见的公告

发布机构： 深圳市生态环境局 发布日期： 2020-04-09 15:49 字号：【大 中 小】

为了规范深圳市环境空气质量预报工作，进一步强化污染防治精细化管控措施，进而持续推动我市环境空气质量持续改善，市环境监测中心站组织起草了《深圳市环境空气质量预报预警技术规范(征求意见稿)》(以下简称《规范》)。现就《规范》全文公开征求社会公众意见，有关单位和社会各界人士可在2020年5月5日前，通过电子邮件方式将意见建议发送至以下邮箱：szjczyzx@meeb.gov.cn。

附件1：《深圳市环境空气质量预报预警技术规范(征求意见稿)》
2：深圳市环境空气质量预报预警技术规范编制说明

深圳市生态环境局
2020年4月9日

相关附件

1：深圳市环境空气质量预报预警技术规范(征求意见稿).pdf
2：深圳市环境空气质量预报预警技术规范编制说明.pdf



图 1.1 公开征集公众意见网页截图

(6) 局内部征求意见

2020年5月15日,深圳市监测中心站通过《关于征求深圳市地方标准<环境空气质量预报预警技术规范(征求意见稿)>意见的函》,就《环境空气质量预报预警技术规范(征求意见稿)》向深圳市生态环境局规划发展处、法规和标准处和大气环境处等局里相关科室征求了意见。

(7) 内部例会修改

2020年6月-7月,编制组通过每周例行会议制度,每周一次对《环境空气质量预报预警技术规范》(征求意见稿)及编制说明进行讨论、修改和完善。

(8) 专家咨询会和评审会

邀请专家进行了多轮咨询和完善,广泛征求各相关单位、专家和技术人员对规范的意见。2020年8月14日,邀请中国环境监测总站、广东省环境监测中心、深圳市标准技术研究院、深圳市环境科学研究院、深圳市气象局(台)、深圳市环境监测协会和香港科技大学等单位的专家对征求意见稿进行了全面评审。专家组形成如下意见:(1)编制组提交的文档资料完整、规范,符合编制要求;(2)

该《技术规范》可为深圳市进一步做好环境空气质量预报预警和大气污染精准防控工作提供有效的技术支撑；(3) 该《技术规范》针对深圳市环境空气质量预报预警工作和管理需求，提出精细化、本地化、可操作性强的地方标准，具有较强的科学性和适用性；(4) 专家组一致同意该《技术规范》通过评审，并建议编制组根据专家意见修改完善后尽快形成送审稿，并报请市有关主管部门发布实施。专家意见扫描件请见附件 2。

综上所述，《环境空气质量预报预警技术规范》(征求意见稿)广泛征求了公众、生态环境局各相关科室的意见，书面或会议征求了中国环境监测总站、广东省环境监测中心、香港科技大学、中山大学、上海市环境监测中心、广州市环境监测中心站、深圳市标准技术研究院、深圳市环境监测协会、深圳市气象局(台)、深圳市环境科学研究院、深圳市坪山环境监测站等多家科研院所/单位的意见。主要意见和建议有 33 条，其中采纳了 31 条，并对 2 条进行了解释。具体意见和建议和采纳情况请见附件 1。

1.3 创新性说明

《环境空气质量预报预警技术规范》编制过程中，编制小组对标国际、国内相关标准和技术规范，梳理了世界气象组织、美国环保署、欧盟等发达国家、组织和生态环境部、中国环境监测总站等国内主管部门和相关单位的技术规范制定流程和主要技术参数，结合深圳市实际情况对空气质量预报方法进行改进、本土化和业务化。具体对标情况如下：

世界气象组织 2004 年制定了《生物气象和空气质量预报规范》(WMO/TD No.1184)，定义了空气质量预报模型的分类、组成和数据。

1996 年，美国环保署制定了《空气质量模型规范》(40 CFR Ch.1 (7-1-99 Edition))，规定了推荐模型、模型适用条件、模型输入数据以及模型不确定性等。美国 EPA 通过每年召开工作组会议、和美国气象学会科研团队签订合作协议、吸纳技术和用户团队的新模型评论和其他研究团队的科研成果，保证空气质量预报标准规范的发展。

欧盟在欧洲空气公共信息 II 项目 (Common Information on European AirII,

简称 CITEAIR II) (2008-2011 年) 支持下制定了《城市空气质量预报实践规范》,

序号	HJ 1130-2020 环境空气质量数值预报技术规范	深圳市《环境空气质量预报预警技术规范》
----	-----------------------------	---------------------

该项目目的是交换在区域空气质量保护和政策发展方面的良好经验,介绍了参与 CITEAIR II 项目的空气质量预报模式及其业务化运行方式,提出了三个不同复杂程度的预报系统,其主要成果是提出“CITEAIR”方法,可促进本地空气质量预报系统在其他地区的业务化运行。

中国环境监测总站总结各地空气质量预报业务中的实践经验,在 2014 年编制了《环境空气质量预报预警方法技术指南》(第一版),并于 2017 年修订并发布了《环境空气质量预报预警方法技术指南》(第二版)。指南明确了数值模式预报是开展环境空气质量预报的一种重要技术手段,并对数值预报的输入数据要求、数值预报模式和输出数据及其分析方法进行详细的解释说明。

生态环境部 2020 年 5 月发布了《环境空气质量数值预报技术规范》(HJ 1130-2020),标准规定了环境空气质量数值预报模式基本要求、运算处理和成效评估方法等内容。该标准适用于我国环境空气质量预报业务部门,用于规范和指导业务化应用的环境空气质量数值预报模式,对其基本性能、组成和模拟效果等方面提出要求。

由上可见,发达国家的环境空气质量预报基本上考虑了数值预报在内的多种方法的融合,《环境空气质量数值预报技术规范》(HJ 1130-2020)仅仅是对数值预报做出了相关规定。因此,深圳市《环境空气质量预报预警技术规范》考虑到统计预报和数值模拟预报等多种预报方法的融合,并结合深圳市实际情况对空气质量预报方法进行改进、本土化和业务化,在标准制定方面在全国是领先的,具有创新性,并向发达国家相关标准的制定工作看齐。

1	只针对环境空气质量数值预报	除了环境空气质量数值预报，增加了环境空气质量统计预报内容
2	空间尺度范围包括全球、区域、城市尺度	空间尺度范围除了全球、区域、城市尺度，还增加了市内区级尺度。市内区级尺度所应用的空间尺度范围需包括：覆盖区行政区域
3	环境空气质量数值预报模式计算区域的水平分辨率城市尺度不低于 5 公里×5 公里	水平分辨率不低于 3 公里×3 公里，重点区域的水平分辨率不低于 1 公里×1 公里或精细到街区尺度
4	模式计算区域的垂直层数不少于 10 层，其中近地面 1 公里内垂直层数不少于 5 层	模式计算区域的垂直层数不少于 30 层，其中近地面 1 公里内垂直层数不少于 10 层
5	包括重污染天预报结果输出和性能评估	深圳市重污染天非常少，强调了“污染天”预报结果输出和性能评估
6	无资料性附录	增加了资料性附录“环境空气质量预报预警工作流程”

表 1.1 本技术规范主要特点

1.4 标准制订的必要性分析

1.4.1 环境空气质量预报规范化对深圳市环境空气持续改善具有重要意义

深圳是中国南部海滨城市，位于珠江口东岸、北回归线以南，陆域位置东经 113° 43' ~114° 38' ，北纬 22° 24' ~22° 52' ；东临大亚湾与惠州市相连，西濒珠江口伶仃洋与中山市、珠海市相望，南至深圳河与香港毗邻，北与东莞市、惠州市接壤。全市陆地总面积 1997.47 平方公里，全境地势东南高、西北地，大

部分为丘陵地，间以平缓台地，西部沿海一带为滨海平原，属于海洋性气候。深圳共设 9 个市辖区（福田区、罗湖区、盐田区、南山区、宝安区、龙岗区、龙华区、坪山区、光明区）、1 个功能区（大鹏新区）和深汕特别合作区。

根据深圳市统计局初步核算，2019 年全市地区生产总值 26927.09 亿元，与“十二五”末 2015 年的 17502.99 亿元相比，增长了 64.1%。经济的快速发展，对环境空气质量的改善，提出新的更大挑战，对环境空气质量的精细化管控需求更为紧迫。

深圳作为粤港澳大湾区的重点城市 and 社会主义先行示范区，是我国的先行先试地区，对环境空气质量的改善提出新的更高的目标。近年来在坚实的科技支撑基础上，通过持续大力度的防控治理，空气质量得到明显改善。深圳细颗粒物（PM_{2.5}）浓度 2014 年在千万人超大城市中率先达标，深圳市 PM_{2.5} 年均浓度下降到 34 微克/立方米，提前 3 年完成了国家《大气污染防治行动计划》中 PM_{2.5} 的治理目标。且近四年波动下降，趋近国际先进水平，2020 年目标是达到世界卫生组织环境空气质量 II 阶段标准（25 微克/立方米），稳居全国 74 个重点城市前十位。尽管深圳市大气污染防治工作已取得显著成效，在国内大中型城市中较优，但对比国际先进都市，仍有一定的差距，存在着 PM_{2.5} 年均浓度持续改善难度大、臭氧污染不降反升，且呈现区域蔓延趋势，臭氧和二次细颗粒物防治成为焦点。特别是臭氧污染具有区域传输特征、大气生成机理的复杂、前体物如挥发性有机物种类多样，对环境空气质量预报工作的规范化和精细化提出了更高的要求。因此，制订深圳市环境空气质量预报规范显得极为迫切和必要，为环境空气质量持续改善和污染防治精细化管控提供强有力的科学支撑。

1.4.2 环境空气质量预报规范化为大气污染防治工作提供重要技术支撑

环境空气质量预报是一项复杂的系统工程，是当今环境科学研究的热点与难题。通过各类预报方法与手段相结合，可对痕量气体、气溶胶等多种大气污染物在城市、区域、全球尺度下的不同类型污染过程进行预测研究，研究内容涉及气象、物理、化学等多个学科，包含宏观、微观多种过程，是当前城市及区域污染防治与治理的有效途径。

目前国际上空气质量预报的方法有两种，一种是以统计学方法为基础，利用现有数据，基于统计分析，研究大气环境的变化规律，建立大气污染浓度与气象

参数间的统计预报模型，预测大气污染物浓度，称之为统计预报。常用的空气质量统计预报方法包括回归方程法、天气形势分类法、神经网络法、趋势外推法和决策树法等。统计预报方法具有相对简单易行的特点，适用于污染情况较为单一或污染规律性明显的城市。

另一种则是以大气动力学理论为基础，基于对大气物理和化学过程的理解，在给定的气象场、源排放以及初始和边界条件下，通过一套复杂的偏微分方程组描述大气污染物在空气中的各种物理化学过程（输送、扩散、转化、沉降等），并利用计算机高速运算进行数值计算方法的求解，预报污染物浓度动态分布和变化趋势，提供高时空分辨率的污染物浓度分布。数值模式预报主要涉及高性能计算系统、空气质量模式、气象数值模式、源清单编制与动态更新机制、监测网络数据同化和综合分析工具等，是目前国内外主流的环境空气质量预报技术方法之一。在京津冀、长三角、珠三角等空气质量预报平台建设和业务发展过程中，以及在北京奥运会、上海世博会、广州亚运会、南京青奥会、北京 APEC、北京抗战胜利纪念日阅兵、杭州 G20 峰会、北京“一带一路”论坛等重大活动保障中，利用空气质量数值预报模式在城市尺度和区域尺度空气质量预报方面，积累了重要的业务研发和应用工作经验，为重污染过程预警应急、减排控制、区域大气污染防治协作等提供重要的技术支撑。

2013 年，《大气污染防治行动计划》提出明确要求，到 2015 年底，全国重点区域、省、自治区、直辖市、省会城市和计划单列市要建立辖区重污染天气监测预警体系。在此背景下，全国各地环境监测部门陆续开展空气质量预报能力建设。出于服务环境管理部门污染防治与管控目的，截止 2015 年底，全国共有 24 个省级、28 个城市级环境监测部门建设了空气质量数值预报模式系统。但是由于目前我国环境监测部门在进行空气质量数值预报模式系统建设中，缺乏基本的行业应用标准和基本的技术规范，所建的数值预报系统良莠不齐，组成和功能差异较大，并且模式本地化程度也各不相同，导致各地数值预报结果的准确率相差甚远，各地区和城市难以规范地开展环境空气质量业务预报和有效支撑环境管理和污染管控工作。

因此，非常有必要在全国环境监测系统的空气质量业务预报领域，对环境空气质量预报基本组成要求、尺度时效、效果评估等关键技术进行规定，从而为全

国环境监测系统利用统计和数值预报技术开展例行空气质量业务预报提供最基本的标准，为各地开展环境空气质量预报系统建设提供最基础的要求。而根据深圳建设社会主义先行示范区和深圳在粤港澳大湾区中的城市定位，在生态环境领域需要建立与国际接轨并具有中国特色的全指标环境质量标准体系和污染物排放标准体系及其相应的技术规范。

2 国内外环境空气质量预报相关技术研究

2.1 空气质量数值预报模式发展

空气质量数值预报模式从 20 世纪 60 年代以来，已经发展了三代空气质量模型系统。第一代以箱式模型、局地烟流扩散模型以及拉格朗日轨迹模式为代表。它们采用了高度参数化的线性机制描述大气物理化学过程，适用于化学浓度较低、大气较为稳定状态下的轨迹模拟，不适用于对流较强或地形复杂条件。

第二代空气质量模式通过加入较为复杂的气象模式和非线性反应机制，并将被模拟的区域分成许多三维网格单元。模式将模拟每个单元格大气层中的化学变化过程、云雾过程及起周边的其他单元格的大气状况。以欧拉网格模式为主的第二代空气质量模式广泛应用于光化学污染模拟、酸沉降等研究当中。

第三代空气质量模式是根据“一个大气”概念，通过将整个大气作为研究对象，设计了多模块集成、多尺度网格嵌套的三维欧拉模型，突破了传统模式针对单一物种或单相物种的模拟，考虑了实际大气中不同物种之间的相互转换和相互相应。主流的第三代空气质量模式包括 CMAQ(Community Multi-scale Air Quality Modeling System)、CAMx (Comprehensive air quality model with extensions)、WRF-Chem (Weather Research and Forecasting-Chemistry model)、NAQPMS(Nested Air Quality Prediction Modeling System)等。新一代空气质量预报系统，具有广泛的应用领域，对大气辐射、云微物理及陆面模式等多种物理过程都有不同的参数化方案，可以为化学模式提供大气流场。空气质量数值模式技术已经日趋成熟并广泛应用于空气质量预报、污染的形成机制分析以及环境政策评估等诸多领域。

国内空气质量模式也经历了三个阶段，其中构建的全球尺度、区域尺度及嵌套网格的第三代大气环境模式应用范围最为广泛，代表模式有嵌套网格空气质量

预报模式系统（Nested Air Quality Prediction Modeling System，简称 NAQPMS）区域大气环境模式系统（Regional Atmospheric Environment Modeling System，简称 RegAEMS）等。这些模式在源解析、气溶胶微观动力学模拟、多层嵌套等方面都进行了升级，应用范围更加广泛。

2.1.1 气象模式进展

气象模式为空气质量预报模式提供温度、湿度、风速、气压、风向、降水、云、辐射等气象资料。目前气象模式当中应用最为广泛的是 Weather Research and Forecasting (WRF)模式。WRF 模式是为了满足大气研究和业务预报需要而设计的数值天气预报系统。WRF 作为完全可压缩非静力模式，不仅可以用于真实天气的个案模拟，也可用于其包含的模块组作为基本物理过程探讨的理论依据，适用于从米到千米范围内广泛的气象预报应用。

国内气象模式在借鉴国外研究成果的基础上，根据中国实际情况，对气象模式各个物理化学过程进行了评估和改进。张碧辉等揭示了不同参数化方案对 WRF 边界层气象要素模拟的影响。曾新民等对研究了 WRF 模式不同陆面方案对暴雨事件模拟的影响。

2.1.2 模式污染源清单处理模型发展

常见的源排放清单处理模型包括：美国北卡罗来纳微电子中心（Microelectronic Center of North Carolina，简称 MCNC）开发的 SMOKE 模型、加拿大排放处理系统（Canadian Emission Processing System，简称 CEPS）、综合区域排放处理工具（Consolidated Community Emission Processing Tool，简称 CONCEPT）以及美国 EPA 开发的排放预处理系统（Emissions Preprocessor System，简称 EPS）、高山地球物理公司（Alpine Geophysics）开发的排放模拟系统（Emission Modeling System，简称 EMS）等。

SMOKE 模型应用最为广泛，该模型采用稀疏矩阵方法进行计算，为模式系统提供网格化的排放源。同时，其考虑了面源、点源及移动源三部分，针对不同类型排放源的空间分布属性、时间变化规律，设置不同时空分配曲线，更合理反应不同类型的时空特征。

我国模式排放清单处理研究参考国外的研究思路，也开发了众多源清单。2003 年清华大学贺克斌、余学春等人以北京市为例，介绍了一种包括排放清单

建立、环境空气质量模拟及区域环境影响评价分析等方法在内的城市大气污染物来源特征分析的技术方法，从而确定城市大气污染物的排放分布及浓度分布特征、地区排放贡献率及浓度贡献以及区域污染对城市环境空气质量影响等多方面特征，为城市大气污染的控制决策提供必要的理论支持。2005 年北京大学胡建林对珠江三角洲污染源清单的建立进行了研究，建立了一套规范的源排放估算方法和规范的估算流程，建立了区域排放清单所需的尽可能详尽的中国排放因子库和统计基础数据库。2012 年，北京市环境保护科学研究所的薛亦峰等人专门开展清单的不确定性分析，介绍了大气污染物排放清单建立、管理、质量保证和质量控制计划、清单的改善、不确定性分析方法。

近几年的污染源清单是基于技术信息和设备信息的高技术分辨率排放清单，通过空气质量模型应用于污染过程研究和控制决策研究。

2.1.3 大气化学资料同化技术发展

大气化学资料同化技术随着多种大气化学成分监测平台的建立得到了快速发展。同时，最优化插值、三维变分、四维变分等技术的引入，使得气溶胶数据也能够被同化到空气质量模式当中。随着人们对资料同化的理解不断加深，以经验型为主的同化方法开始成为主流。

大气污染资料同化主要应用之一就是污染观测数据同化到模式中，获得精度更高的污染物浓度场，为大气污染预报提供精度更高的初始条件。同化的观测数据主要包括卫星遥感、地基监测和雷达探测数据等。徐祥德等建立了变分函数模型，将卫星遥感和地面或探空观测信息进行融合，在沙尘暴大气要素场、北京周边地区气溶胶变分等研究中取得了客观订正的显著效果。白晓平等将最优插值和集合卡尔曼滤波应用于空气污染数值预报模式系统 REMSAD (Regional Modeling System for Aerosols and Deposition)，对 NO_x 和 SO_2 资料进行同化。黄思等比较了地面观测、模拟和同化再分析数据在 $\text{PM}_{2.5}$ 污染回顾分析上的应用潜力和优缺点，并利用 $\text{PM}_{2.5}$ 同化再分析数据对京津冀一次 $\text{PM}_{2.5}$ 污染过程时空演变特征进行了回顾分析。

2.1.4 模式评估研究进展

国外在模式评估方面研究较早，编撰了一些空气质量模式评估的相关技术规范以及一些定量评估模式预测的综述。这些成果主要提供一些统计性和业务性的

评价，注重评价模式对污染物浓度最大值的模拟能力以及在时间、位置、气象条件等要素的准确性。

随着国内多地建立了区域空气质量数值预报系统，也逐步尝试开展空气质量数值系统的评估工作。白永清等基于 WRF-Chem 大气化学模式建立了华中区域空气质量数值预报系统，对武汉冬季的 24h 预报结果进行了初步检验。刘琳等利用多种检验指标对华中区域空气质量数值预报系统的 6 种污染物和 AQI 指数的预报结果进行检验评估，在确保模拟效果的基础上，通过敏感性实验研究区域气溶胶对地面气象要素的影响。潘锦秀等利用一种适用于区域重污染空气过程评估方法，分析了 NAQPMS 模式系统对京津冀区域静稳型、风沙型和特殊型重污染天气过程的预报能力。

2.1.5 数值模式预报结果订正

随着数值模式预报技术的不断进步，预报效果明显提升，为了进一步提高预报准确率，国内各个气象台站陆续开展了数值模式预报产品的检验。张宁娜等对德国和欧洲中心数值模式在东北地区的降水预报产品进行检验，通过检验选取预报效果最优的数值模式，提高预报准确率。何金梅等利用误差滚动线性回归订正方法对中国气象局预报的 $PM_{2.5}$ 、 PM_{10} 、 SO_2 、 NO_2 、 O_3 和 CO 等污染物进行订正，结果表明订正后模式对 O_3 的预报准确率提高了 1.1%~5.5%，对其他污染物的预报准确率可提高 8.7%~75%。

2.2 空气质量统计预报模式发展

从 1973 年第一次全国环保工作会议开始，我国陆续在大气扩散模式、污染气象学、污染气象参数与大气污染物浓度之间的关系以及空气污染预报等方面开展了相关研究，并先后在北京、沈阳、兰州、重庆、长沙和太原等城市初步开展了以 SO_2 为主的城市空气污染试验预测和预报研究工作。2001 年 6 月，中国环境监测总站组织 47 个重点城市向公众发布空气质量预报，且基本采用统计方法进行空气污染指数（API）预报（赵国君，2004；赵仲莲，等. 2006）。

2013 年 9 月 12 日颁布的《大气污染防治行动计划》第九条明确要求“建立监测预警应急体系，妥善应对重污染天气”。按照其要求的实施计划，从 2014 年起，京津冀、长三角和珠三角重点区域以及各省（区、市）、省会城市和计划单列市分批开展环境空气质量预报系统能力建设，目前上述地区均已初步搭建环境

空气质量预报预警业务系统,并正式对外发布区域和省级空气质量潜势预测和城市空气质量指数(AQI)预报。根据2015年各地环境空气质量预报业务工作开展情况的调查统计,31个省(区、市)环境空气质量预报业务系统中有28个省(区、市)含有统计预报产品,32个重点城市(省会城市和计划单列市)业务预报系统中有26个城市含有统计预报产品,可见统计预报方法在我国目前的环境空气质量预报领域应用广泛。

2.2.1 统计预报模型概况

统计预报方法以历史污染物浓度观测资料和气象条件资料为基础,通过因子初选和相关性分析,建立大气污染物浓度与气象条件或非气象条件间的相关性、趋势性、延续性等统计关系,建立拟合方程或统计模型,从而外推得到对未来空气质量的预报结果。

与数值预报模式相比(如表2.1),统计预报方法主要受气象等特征影响,不依赖污染源排放清单,具有简便、经济和易于实现的特点,且预报精度和时空分辨率又可满足现阶段公众对空气质量短期预报的需要,因此是我国开展空气质量预报业务的基本手段,适用于缺乏详实的污染源排放清单数据,同时具备完整、长期的空气质量和气象观测数据的城市或区县。但统计预报模型在预报时间长度和空间尺度上有局限性,可结合数值预报模型进行分析,两者相互取长补短、对比验证,从而提高预报的准确度。

表 2.1 统计预报模型和数值预报模型对比

项目	统计预报模型	数值预报模型
考虑因素	以考虑空气质量和气象条件之间的相互关系为主,难以很好的考虑各种污染源的影响	考虑污染源、气象场、空气质量三者之间的相互关系
模型机理	缺乏物理化学机制基础	具有较坚实的物理化学基础
应用特点	统计预测及分析方法与环境信息的诊断分析具有紧密的联系,是认识本地区大气污染特征及影响因素的基础性分析方法,但其业务应用面相对较窄	业务应用面宽,不仅仅应用于预报业务,广泛应用于空气质量的模拟,空气质量保障或污染源控制方案的制定,监测点位优化、环境规划等业务

技术特点	较低的软硬件支持	技术体系复杂，软硬件支持要求高，环节过多对预报结果的精度造成了一定的制约和影响
预报应用	预报指标都应该持续监测一年以上，常具有较好的短期预报能力	模拟及预报精度受污染源清单的准确性制约，趋势拟合较好

目前较常见的统计预报模式主要以机器学习方法为主，例如多元线性回归模型、神经网络模型和 CART 决策树等。随着人工智能技术不断发展，更多机器学习和深度学习等预报方法可以应用于大气污染物浓度预测中，从而得到更好的预报效果。

2.2.2 预报因子

当某种污染物排放到空气中后，污染物在空气中的浓度由污染源的排放量和大气稀释扩散条件等因素决定。统计预报不考虑污染源排放的影响，假设污染源排放在一段时间内是相对稳定的，那么污染物浓度的高低主要取决于当时的气象条件，即气象条件有利于污染物扩散、清除、沉降则污染物浓度降低，反之污染物浓度升高。一般说来，气温高、湿度小、有降水、风速大有利于扩散清除；反之，气温低、湿度大、风速小不利于扩散。当出现逆温时，就更不利污染物扩散。

统计预报模式的预报因子指对大气污染物预报浓度有显著影响的气象或非气象条件，可根据相关经验或通过相关性分析、显著性检验等方法进行筛选。

2.2.3 多元线性回归模型

2.2.3.1 原理

多元线性回归模型即从气象条件和非气象条件中筛选出对大气污染物浓度变化具有显著影响的若干关键因子，通过统计分析得到多元线性回归方程，以此回归方程为依据进行外推计算，从而获得未来某项大气污染物浓度的预报结果。

多元线性回归方程的建立一般采用逐步回归算法。逐步回归算法是在所有考虑的自变量(过去几天的大气污染物浓度和气象条件)中，按其对因变量(大气污染物预报浓度)影响的显著程度的大小，由大到小逐个引进回归方程。已

被引进回归方程的变量，在引进新变量后，往往可能会由显著变为不显著，此时需将其从回归方程中剔除，以保证在众多预报变量中挑选出最佳的关键变量组合，建立最优预报方程，用于未来污染物浓度的预测。

预报浓度 Y 与预报关键变量 X 建立的最优回归方程格式如下：

$$Y = k_1 X_1 + k_2 X_2 + \dots + k_n X_n + b$$

式中， Y 为污染物预报浓度， X_1, X_2, \dots, X_n 为预报关键变量， k_1, k_2, \dots, k_n 为关键变量的系数， b 为常数项。

2.2.3.2 特点

多元线回归模型具有公式简单，参数清晰明了的特点，预报人员可根据经验对模型的参数进行订正和调整，适用于污染物浓度变化较为平缓、污染物历史浓度数据规律较为显著的地区。

2.2.4 神经网络模型

2.2.4.1 原理

神经网络是生理学上的真实人脑神经网络的结构和功能，以及若干基本特征的某种理论抽象、简化和模拟而构成的一种信息处理系统。神经网络模型的基本单位称为神经元，神经网络结构由三层或三层以上的神经元组成，包括输入层、中间层（隐层）和输出层。各层神经元连接计算则可得出预报浓度与预报关键变量间的统计关系。

应用神经网络模型进行大气污染物浓度预报分为训练和预测两个过程。训练的目的是通过对大量样本的学习，计算出符合预报因子和大气污染物预报浓度关系的最优参数。训练成功后，即可对神经网络输入最新的因子值进行预测。

2.2.4.2 特点

神经网络模型的非线性特性可以更好地拟合预报因子和大气污染物预报浓度之间的关系。随着人工智能技术的不断发展，更复杂的神经网络模型可以应用于大气污染物预报中，得出更准确的结果。

2.2.5 CART 决策树

2.2.5.1 原理

CART（Classification and Regression Tree）决策树方法是一种应用广泛的决

策树学习方法，可用于分类或者回归计算，可代表预报因子和大气污染物浓度之间的映射关系。

CART 在计算过程中充分利用二叉树的结构即根节点包含所有样本，在一定的分割规则下根节点被分割为两个子节点，这个过程又在子节点上重复进行，成为一个回归过程，直至不可再分成为叶节点为止。

2.2.5.2 特点

决策树具有简单直观的特点，相比于神经网络在逻辑上可以更好地解释，对数据异常值或缺失值的容错能力好，健壮性高。CART 适合于分析大样本量下发现预报因子与污染浓度之间比较确定性的关系，从而给出污染物的浓度或级别预报，也可以给出重污染的判别条件。

2.2.6 统计模型的集成

根据预报业务需求，以月或 6 个月为统计时段，对比不同污染物的预报结果与监测数据，以判断每种污染物适用的统计预报模型，以选取模型的预报准确率为首要评估指标，得出每种污染物的最优模型，并以此模型为该种污染物的预报模型并应用于下一阶段的预报业务，运行一段时间后，再次考察各类模型，调整污染物对应的模型。

2.3 预报标准规范发展

国外制订了多个数值预报标准规范，其中最具代表性的为世界气象组织 2004 年制定的《生物气象和空气质量预报规范》，它定义了空气质量预报模型的分类、组成和数据等。美国制定的《空气质量模型规范》规定了模型选择、模型适用条件、模型输入数据以及模型不确定性等。欧盟也制定了《城市空气质量预报实践规范》，目的是促进空气质量预报系统在其地区业务化运行。

最近几年国内逐步开始制定相关标准工作。气象部份最早开展数值天气预报业务，国家气象局制定了《关于规范全国数值天气预报业务布局的意见》，用以指导全国数值天气预报业务布局与分工。2014 年中国环境监测总站编制了《环境空气质量预报预警方法技术指南》（第一版），2017 年重新编制了《环境空气质量预报预警方法技术指南》（第二版）。2017 年 9 月，国家气象中心发布了数值天气预报产品检验规范》（GB/T 34303-2017），建立了数值天气预报产品检验

规范。

3 3 标准制修订的原则和方法

3.1 标准制订的基本原则

我国环境保护标准制修订管理办法规定了标准制修订工作遵循的基本原则：以科学发展观为指导，以实现经济、社会的可持续发展为目标，以国家环境保护相关法律、法规、规章、政策和规划为根据，通过制定和实施标准，促进环境效益、经济效益和社会效益的统一；有利于保护生活环境、生态环境和人体健康；有利于形成完整、协调的环境保护标准体系；有利于相关法律、法规和规范性文件的实施；与经济、技术发展水平和相关方的承受能力相适应，具有科学性和可实施性，促进环境质量改善；以科学研究成果和实践经验为依据，内容科学、合理、可行；根据深圳实际情况，可参照采用国内外相关标准、技术法规；制定过程和技术内容应公开、公平、公正。

本标准在制订过程中，主要依据以下三个基本原则：

(1) 明确本标准的适用范围，以满足深圳市环境空气质量预报业务工作基本需求为出发点；

(2) 本标准规定的内容针对业务化应用的环境空气质量统计预报和数值预报模式提出；

(3) 本标准规定的模式基本要求和评估方法等具有可比性和普遍适用性，易于推广使用。

3.2 标准制订的方法

在标准制订的过程中，首先，充分调研国外发达国家、地区以及我国自主研发的空气质量数值预报先进技术，包括在空气质量数值预报模式、模式污染源清单、空气质量数值预报模式评估与应用等方面的相关文献和资料，作为本规范的基本技术基础。

其次，总结目前全国范围内开展的不同层级（国家、区域、省级、城市）的空气质量预报平台和全国业务预报体系建设的丰富经验，综合考虑深圳市业务预报今后发展的应用需求，以及深圳市环境管理部门对空气质量业务预报的管理和技术支持要求。

再次，开展本规范相关内容的研究和编制，包括定义环境空气质量统计预报和数值预报模式基本组成和要求，规范模式应用的基本形式，提出预报效果评估的方法等。

最后，编制完成符合中国国情，特别是深圳市情、具有科学性、先进性和可操作性的环境空气质量统计预报和数值预报技术规范，达到服务深圳市环境空气质量业务预报，为深圳市环境管理及环境空气质量改善提供基础技术支持的目标。

4 标准研究内容

4.1 适用范围

本标准适用于深圳市环境空气质量预报业务部门，对环境空气质量数值预报模式的基本要求，运算处理、评估方法等内容进行了规定。

4.2 规范性引用文件

本规范制订主要引用《环境空气质量标准》(GB 3095)、《环境空气质量指数(AQI)技术规定》(HJ 633)、《环境空气质量数值预报技术规范》和《环境空气质量数值预报模式源清单技术指南(试行)》(中国环境监测总站预报字(2015)30号)等标准文件对各个方面进行技术规范。

4.3 术语和定义

本规范涉及8个关键术语并对其进行定义，即为环境空气质量数值预报、环境空气质量数值预报模式、环境空气质量统计预报、环境空气质量统计预报模式、模式污染源清单和大气化学资料同化等。环境空气质量数值预报模式是基于控制污染现象的基本物理和化学原理，用数学方程组描述大气污染现象，借助于大型计算机通过数值方法求解基本方程组，从而预测各种不同条件下的空气质量状况的系统。本定义主要参考了《大气环境化学》(第二版)中“空气质量预报模式”的定义。

环境空气质量数值预报是利用环境空气质量数值模式，对大气中的主要污染物浓度及时空变化进行形势预报，预测城市和区域环境空气质量状况和潜在污染过程，为群众的生活和生产活动提供指导和服务，为管理部门采取应对措施提供

科学依据。本定义主要参考了《环境空气质量预报预警方法技术指南》（第一版）中“数值预报”的定义。

模式污染源清单是基于大气污染物源排放清单和源清单处理模式，结合人口和交通路网等地理信息数据，以及不同类型排放源的时间分配曲线，根据环境空气质量数值预报模式直接输入的时空分辨率、化学机制要求，处理获得的网格化源排放数据。本定义主要参考了《环境空气质量数值预报模式源清单技术指南(试行)》（总站预报字（2015）30号）的定义。

大气化学资料同化是基于最优估计理论，利用模式状态变量的时空演变规律和物理化学属性的持续约束，将多源大气化学成分观测信息不断融入到环境空气质量模式系统中，以更加精确地估计或预测未知变量，减小不确定性的方法。本定义主要参考了《环境空气质量预报预警方法技术指南》（第一版）中“资料同化”的定义。

环境空气质量统计预报模式是指以统计学方法为基础，利用现有空气质量监测数据和气象资料，基于统计分析，研究不同气象条件下大气污染物浓度的变化规律，建立大气污染物浓度与气象参数间的统计预报模式，从而根据输入的气象预报资料来预测未来大气污染物浓度和环境空气质量水平。本定义主要参考了《环境空气质量预报预警方法技术指南》（第二版）中“统计预报方法”的定义。

环境空气质量统计预报是指利用空气质量和气象参数等历史观测资料建立大气污染物浓度与气象条件或非气象条件间的相关性、趋势性、延续性等统计关系，建立拟合方程或统计模型，从而外推得到对未来空气质量的预报结果。统计预报方法是环境空气质量预报的主要方法之一，在城市空气质量预报方面具有广泛应用。

动态统计预报模型是指采用数据库技术及数据挖掘技术，动态选择数据集，动态的生成更新统计模型并进行空气质量预测。采用动态统计方法建立空气质量预报模型能够很好地解决静态模型适用期较短的问题。同时可以针对不同站点、不同污染物、不同时段建立模型，并通过模型的进一步诊断及验证检验，筛选预测性能良好的模型并作为业务模型进行空气质量预报。

预报因子是指对大气污染物浓度预报有显著影响的气象或非气象条件。

4.4 环境空气质量数值预报

4.4.1 基本要求

建立数值预报模式应考虑空间尺度范围、空间分辨率、预报时长和预报输出时间间隔等基本要求。

(1) 空间尺度范围

空气质量预报模式应客观反映一定空间范围内的环境空气质量状况和变化规律，根据模式计算区域的覆盖范围分为全球尺度、大陆尺度、区域尺度和城市尺度。城市尺度范围应覆盖城市及周边区域，同样还需要根据环境空气质量预报需求进行确定。

(2) 空间分辨率

根据城市空间大小，以及环境空气质量预报需求，同时借鉴目前全国城市环境空气质量预报模式系统建设的实践，城市尺度的预报模式水平分辨率应设置在1公里~5公里之间。城市群区域尺度预报水平分辨率通常为10公里~30公里。

预报模式垂直层可根据实际预报需求进行确定，一般在边界层以内进行预报。边界层内分层设置需要考虑诸多因素，比如是否需要反应垂直气象或污染物垂直变化情况，是否考虑计算和展示的便利情况。

(3) 预报时长

根据生态环境部和各级环保部门开展空气质量预报的要求，为满足环境各部门实施大气污染管控和防治等应急措施，要求国家重点城市（包括直辖市、省会城市和计划单列市）开展未来5天城市AQI预报。目前在一些重点区域如长三角和珠三角城市区已开展未来7天的预报，京津冀及周边区域开展未来10天的预报。深圳市环境空气质量预报时长，应根据以上重点城市区域预报时长进行确定。

(4) 预报输出时间间隔

根据《环境空气质量标准》（GB 3095-2012）规定，及与环境空气质量监测和发布相匹配对空气质量数值预报模拟输出的时间间隔进行规定。

4.4.2 运算处理

(1) 模式污染源清单处理

污染源清单指的是在一定空间和时间范围内，与污染源排放污染物相关的各种资料的集合，包括污染源自身的信息和污染物排放的信息。在原清单处理过程中，需要对源清单空间范围、源清单中排放源的类别、时间和空间分辨率等基本属性进行规定。

（2）模式气象预报场前处理

本标准需要对空气质量预报模式的输入气象预报场涉及的基本属性进行规定，主要涉及到的有：起始时刻、时段范围、时间分辨率、区域网格坐标参数、边界层方案、辐射方案、陆面过程方案、云物理方案等。同时还要确定的是温度、风速、风向等气象要素。

（3）初始边界条件设置

目前常用的空气质量数值预报模式都需要进行初始条件的设置。初始条件设置需要从已获得的模式输出或资料分析中进行提取，亦或是采用模式缺省值的方法获得初值。

（4）大气化学传输运算

大气化学传输运算涉及的主要物理化学过程对模式预报结果的准确性至关重要，因此需要对其进行规定。

（4-1）平流过程是大气运动中重要的过程之一，指大气携带污染物传输，涉及水平和垂直平流过程。垂直风速太小对污染物垂直输送贡献小。水平风速在行星边界层中较大，是污染物水平输送的主要控制因素。

（4-2）扩散过程指大气中的污染物在湍流的混合作用下逐渐分散稀释的过程。主要受风向、风速、气流温度分布、大气稳定度等条件和地形条件的影响。

（4-3）干沉降是指大气气溶胶粒子和微量气体成分在没有降水时的沉降过程，是大气的一种自净能力。干沉降主要是由湍流扩散、重力沉降及分子扩散等作用引起。干沉降是污染物的重要汇过程，且在任何时候都能发生。

（4-4）湿沉降是指大气中的雨、雪等降水形式和其他形式的水汽凝结物对空气中污染物的清除过程。湿沉降过程可分为气体沉降和气溶胶沉降过程，是污染物的重要汇过程。不同模式采用的湿沉降计算公式不同，湿沉降参数化方案最常用的形式是：湿清除速率与被清除物质的浓度成比例。

（4-5）气相化学指大气中气体状态者之间发生的均相反应。排放到大气当中的各种气体污染物，在一定条件下会彼此之间发生化学反应，即为气相反应。

（4-6）气溶胶化学又称大气气溶胶化学或者大气颗粒物化学，主要用来研究大气中气溶胶（颗粒物）的来源、形成、分布、运输、消除过程中的物理化学行为，化学组分的变化，存在状态特征，粒度谱的演变及其与大气现象的关系等。

(4-7) 液相化学是指在大气中发生在云滴、雨滴等液态环境中的化学反应过程。发生液相反应的过程主要有降水反应、酸反应和氧化性降低反应等。

(4-8) 多相反应又称为非均相反应，反应物多包涵两个或更多相的反应过程。在这种反应过程中，有的反应物始终为多相，有的反应物在反应过程中由单相转为多相或由多相转为单相。

与此同时，若的保障模式的预报效果，还需要考虑不同的地形特征、气象条件、污染排放特征和浓度变化规律，来设置不同的参数方案。因此对于特定的模拟区域，需要采用不同的物理化学参数方案组合，在对各季节典型时段空气质量进行模拟分析的基础上，最终确定最优物理化学过程关键参数方案组合。

(5) 预报产品输出

预报输出需要根据实际业务需求，制作相关预报产品。本标准规定了空气质量预报产品和气象条件预报产品的种类。主要参考了《环境空气质量标准》(GB 3095-2012)、《环境空气质量指数(AQI)技术规定(试行)》(HJ 633-2012)等。

4.5 环境空气质量统计预报

4.5.1 数据库建立

统计预报模式的数据库包括空气质量观测数据、气象数据及其他与空气质量相关的参数等。空气质量观测数据指SO₂、NO₂、PM₁₀、PM_{2.5}、CO和O₃等大气污染物浓度监测结果；气象数据指风速、风向、温度、相对湿度、压力和降水等气象要素，气象数据的来源可以是中国气象局天气预报结果、欧洲中期天气预报中心天气预报结果、美国国家环境预报中心的天气预报结果、WRF天气预报数据等。

数据库中的气象条件对污染物的影响如下：

(1) 风速：风速决定污染物平流扩散和稀释的快慢和程度。风速越大，则水平传输能力越强，利于污染物向远处扩散。风速小，污染物不易向外输送扩散。风对污染物有水平输送、稀释冲淡的作用，风速的大小与污染物浓度密切相关。风速愈大，单位时间内污染物被输送的距离愈远，混入的空气量愈多，污染物浓度愈低。

(2) 风向：由于污染物总是来自上风向的污染源，所以风向对污染物浓度

有重要影响。对于深圳而言，在吹北风、东北风、西北风等情况下，易将北部内陆城市污染源排放的污染物携带到深圳，可能导致环境空气质量恶化；而在吹西南风、东南风时，影响深圳市的气团主要是来自海上，空气比较清洁，因此可能促使环境空气质量好转。总体而言，风向对环境空气质量的影响主要取决于污染源分布情况。

(3) 温度：污染物在大气中的扩散和输送受温度的空间分布的制约，气温的垂直分布表征大气层结的稳定度，直接影响湍流活动的强弱，支配空气污染物的散布。一般来说，当气温的垂直递减率大于干绝热递减率时，气层处于不稳定层结，会促使湍流运动的发展，使大气扩散稀释能力加强；反之当大气处于稳定层结时，则对湍流起抑制作用，减弱大气的扩散能力。所以要判断大气的扩散能力，需要知道温度的垂直分布特征。但由于探空资料获取的难度较大，一般情况下可获得的是地面气象站的观测温度，一般来说，低层大气的温度高，空气易产生对流运动，利于污染物扩散，反之不利于污染物扩散。

(4) 相对湿度：空气相对湿度大，一旦气温降低，水汽容易达到饱和，水蒸气便凝结于悬浮颗粒物表面，使之沉降于大气低层，接近地面的空气颗粒物浓度升高。特别在空气湿度大而气温低时，容易形成雾，污染物不容易扩散而使大气污染加重。

(5) 降水：降水在大气自净过程中有重要作用。在云滴形成过程中，云滴相互碰并或与气溶胶粒子碰并，同时吸收了大气污染物；在雨滴下落过程中，冲刷所经过空气中的气体和气溶胶，对污染物起到冲刷、吸附、捕捉作用，因此，一般而言，降水之后大气比较清洁。

(6) 气压：气压是指单位面积上受垂直空气柱的压力，当气压高时，表示该地气柱密度大，上层空气下沉，底层空气向外扩散，如果周边处于低压，则该地污染物随底层空气向外扩散，空气质量得到改善，如果高压区范围很大，虽然底层空气向外扩散，污染物传输、扩散能力有限。当低压控制时，局地上升气流加强，有利于当地污染物垂直扩散，但周边底层空气向低压区辐合，如果周边污染严重，则随着辐合气流容易把周边的污染物输入，一般受低压控制时，周边污染物容易随着底层辐合气流输入本地，加重本地污染。

4.5.2 模型数据预处理

模型输入数据的预处理包括缺失值及异常值进行删除或插值处理，数据的日均值、日最大值等统计特征的计算和数据归一化处理等。

4.5.3 模型开发环境

统计预报的模型的开放环境的建立可以通过 python、MATLAB、R 等编程语言实现。神经网络等机器学习模型的建立可以使用 python 中的 sklearn、Keras、Tensorflow 等工具包，或其他编程语言中对应的工具包实现。

4.5.4 模型训练

统计预报的训练是指通过大量样本的学习使预报污染物浓度和实际观测污染物浓度的误差逐步降低的过程。

4.5.5 模型调优

统计预报模型的调优主要依据环境空气质量预报模式效果评估指标，根据模型评估指标的大小指导模型调优工作的进行。例如使用交叉验证的方法调节模型。判断模型过拟合或欠拟合状态，过拟合时增加训练样本，降低模型复杂度；欠拟合时提高预报因子数量和质量，增加模型复杂度。模型的评估和调优是反复迭代的过程，需要不断重复尝试使模型达到最优。

4.5.6 模型动态更新

统计预报模型是根据历史数据的规律对未来进行预报，历史数据的代表性有时间限制，所以需定时将最新的实测数据作为样本加入到样本库中，剔除较旧的样本数据，通过不断调整样本库重新训练，形成一种动态的统计预报模型，这样有利于提升预测效果。

4.6 环境空气质量预报效果评估

系统客观评价模式模拟结果是应用的前提条件，是进一步规范环境气候质量预报、不断提高预报质量和预报水平的重要依据。目前国内并未形成规范的评价体系。

本标准规定的评估方法适用于环境空气质量预报模式的业务预报性能检验，通过将预报结果和实际情况对比分析，评估各类预报参数和产品的准确率，指导深圳环境空气质量预报工作。

4.6.1 评估内容

(1) 评估对象

评估对象选取是根据《环境空气质量标准》(GB 3095-2012)确定的常规污染物,如下:二氧化硫(SO₂)、二氧化氮(NO₂)、一氧化碳(CO)、颗粒物(粒径小于等于10微米,PM₁₀)、颗粒物(粒径小于等于2.5微米,PM_{2.5})、臭氧(O₃)的日最大1小时平均和日最大8小时滑动平均,以及《环境空气质量指数(AQI)技术规定(试行)》(HJ 633)中规定的空气质量指数(AQI)、AQI级别和首要污染物等。

(2) 评估类别

根据实际业务预报内容,评估内容分为空气质量指数预报评估、首要污染物浓度预报统计评估。选择的评估方法可以反映模式预报和观测间的预报差异,同时能够指示可能导致模拟误差的原因,以指导模式的后续改进。

空气质量指数预报评估通过统计AQI预报范围、空气质量指数预报级别、首要污染物预报准确率评估,综合评价预报模式对城市空气质量指数的预报效果。

(3) 评估时效

根据目前空气质量数值预报模式的预报时效能力水平,分别对环境空气质量数值预报模式提前24小时、48小时、72小时预报结果进行评估。

(4) 评估周期

预报评估以每日例行的空气质量预报为基础,考虑数据有效性要求,本标准仅规定开展季度和年度空气质量预报评估,进行月度评估时可参照执行。

(5) 评估实况

本标准中与模式模拟结果进行对比的实况数据使用的是全国环境空气质量日报发布的城市环境空气质量日报AQI和各项污染物浓度数据。

(6) 预报结果处理与计算

本标准中的预报结果处理方式和计算方法均参照GB 3095和HJ 633中的相关要求。

4.6.2 评估方法

(1) 单项污染物浓度预报统计评估

单项污染物浓度预报统计评估是指通过各项污染物浓度预报结果与实况的

偏差、误差和相关性等方面的分析，评估预报模式对城市各项污染物的预报效果。评估内容主要包括标准化平均偏差、均方根误差和相关系数。

(1-1) 标准化平均偏差 (Normalized Mean Bias, NMB)

$$NMB = \frac{\frac{1}{N} \sum_{i=1}^N (F_i - O_i)}{\frac{1}{N} \sum_{i=1}^N O_i}$$

式中：NMB——标准化平均偏差；

N——参与计算的样本对个数；

F_i ——第 i 个样本对中，污染物数值预报浓度值；

O_i ——第 i 个样本对中，污染物实况浓度值。

(1-2) 均方根误差 (Root Mean Square Error, RMSE)

$$RMSE = \sqrt{\frac{1}{N} \sum_{i=1}^N (F_i - O_i)^2}$$

式中：

RMSE——均方根误差；

N——参与计算的样本对个数；

F_i ——第 i 个样本对中，污染物数值预报浓度值；

O_i ——第 i 个样本对中，污染物实况浓度值。

(1-3) 相关系数 (Correlation coefficient, r)

$$r = \frac{\sum_{i=1}^N (F_i - \bar{F})(O_i - \bar{O})}{\sqrt{\sum_{i=1}^N (F_i - \bar{F})^2 \sum_{i=1}^N (O_i - \bar{O})^2}}$$

式中， r ——相关系数；

N——参与计算的样本对个数；

F_i ——第 i 个样本对中，污染物数值预报浓度值；

\bar{F} ——参与计算的污染物数值预报浓度平均值；

O_i ——第 i 个样本对中，污染物实况浓度值；

\bar{O} ——参与计算的污染物实况浓度平均值。

(2) AQI 范围预报准确率评估

由于空气质量数值预报模式计算过程中，污染源排放清单、气象预报和边界

条件等存在一定程度的不确定性，AQI 预报结果通常为范围预报。评估时段内 AQI 实况在 AQI 预报范围内，则记为准确。

本标准采用偏差百分比为±25%区间进行计算。本方法体现了 AQI 预报范围随 AQI 数值等比例变化的原则，一定程度上解决了不同地区和不同污染状况下，评估方法无法统一的问题，并能有效规避 AQI 数值在区间临界点时可能出现的两侧区间预报评估结果矛盾的问题。

评估时段内 AQI 范围预报准确天数与评估总天数的百分比即为 AQI 范围预报准确率，计算公式如下：

$$R_{AQI} = \frac{n}{N} \times 100\%$$

式中： R_{AQI} ——AQI 范围预报准确率；
 n ——AQI 范围预报准确的天数；
 N ——评估总天数。

(3) AQI 级别预报准确率评估

将 AQI 预报范围对应得到 AQI 预报级别或级别范围，若 AQI 实况级别在 AQI 预报级别范围内，则认为 AQI 级别预报准确。

评估时段内 AQI 级别预报准确天数与评估总天数的百分比即为 AQI 级别预报准确率。包括分级别预报准确率和级别预报准确率，AQI 级别预报准确率年评估结果不低于 60%，计算公式如下：

分级别预报准确率 $G_{city,i}$ ：

$$G_{city,i} = \frac{n_i}{N_i} \times 100\%$$

式中： $G_{city,i}$ ——分级别预报准确率；
 i ——AQI 级别，分为一级（优）至六级（严重污染），级别总数 $k=6$ ；
 n_i ——级别预报准确天数；
 N_i ——实况 AQI 级别为 i 的总天数。

级别预报准确率 $G_{city,i}$ ：

$$G_{city,i} = \sum_{i=1}^k n_i / \sum_{i=1}^k N_i \times 100\%$$

式中： $G_{city,i}$ ——分级别预报准确率；

i ——AQI级别，分为一级（优）至六级（严重污染），级别总数 $k=6$ ；

n_i ——级别预报准确天数；

N_i ——实况AQI级别为 i 的总天数。

（4）首要污染物预报准确率评估

臭氧为深圳近些年来环境空气中主要的首要污染物，但由于首要污染物存在较明显的季节差异，对首要污染物的预报方法和难度也存在较大差异。因此本标准仅对首要污染物预报评估方法进行描述，为业务预报及评功提供指导性参考。

评估时段内首要污染物预报准确的天数与评估总天数的百分比即为首要污染物预报准确率，计算公式如下：

$$P_{city} = \frac{n}{N} \times 100\%$$

式中： P_{city} ——首要污染物预报准确率；

n ——预报首要污染物准确的天数；

N ——实况AQI级别为二级及以上的总天数。

（5）污染天预报准确率

以自然日（0-23 时）为判据，将日 AQI 大于 100 定义为污染天。一年内实况污染天数大于等于 5 天时，可进行污染天预报准确率评估。

污染天预报准确率是指实况为污染的总天数中 AQI 级别预报准确的天数所占的百分比，计算公式如下：

$$HAPR = \frac{n}{N_{\text{实况}}} \times 100\%$$

式中： $HAPR$ ——重污染天预报准确率；

n ——评估时段内 AQI 级别预报准确的天数；

$N_{\text{实况}}$ ——实况为污染的总天数。

4.6.3 适用性测算

4.6.3.1 环境空气质量数值预报

（1）单项污染物浓度预报统计评估

（1-1）标准化平均偏差

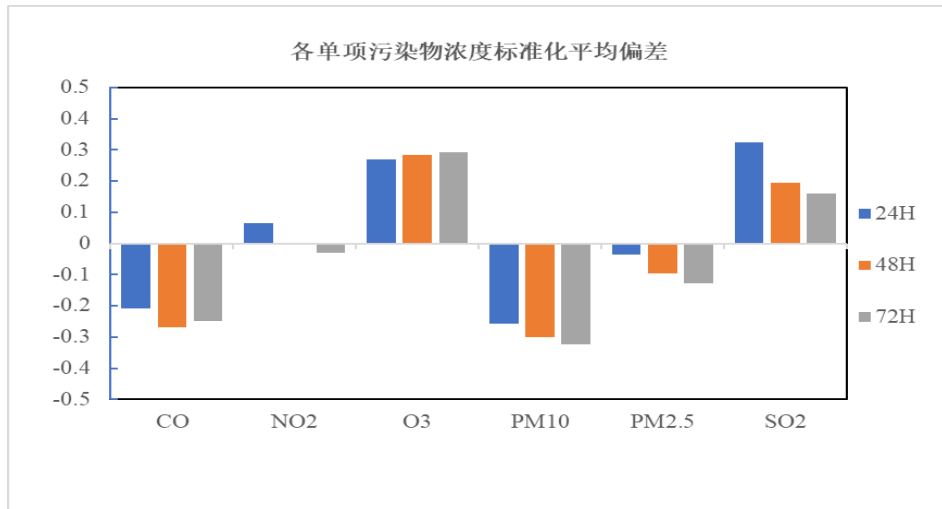


图 4-1 多时效环境空气质量数值预报各单项污染物浓度标准化平均偏差评估统计图

结果表明：2017-2019 年环境空气质量数值预报平均 24h、48h、72h 各单项污染物浓度标准化平均偏差，CO、PM₁₀ 和 PM_{2.5} 均为负，且 PM₁₀ 和 PM_{2.5} 偏差逐年增大；NO₂ 从正转负，总体偏差较小；O₃ 正偏差，且逐年增大；SO₂ 正偏差，且逐年减小。

(1-2) 均方根误差

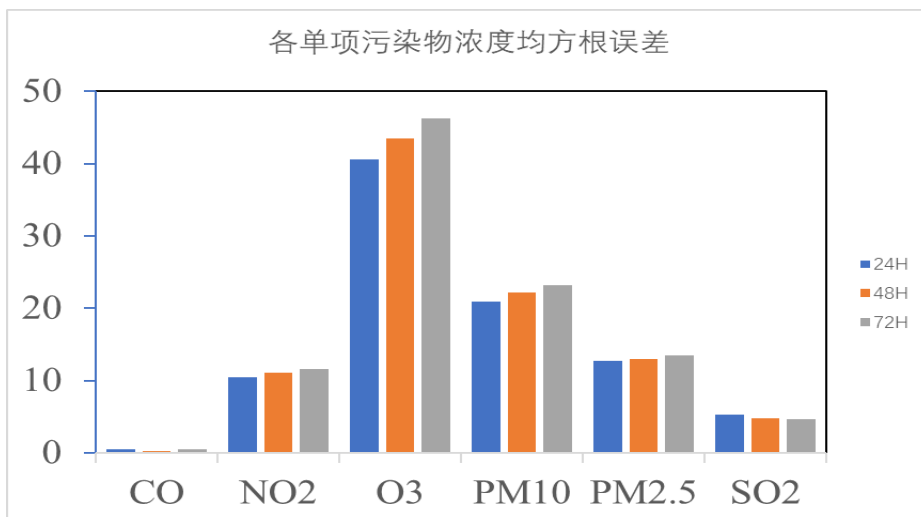


图 4-2 多时效环境空气质量数值预报各单项污染物浓度均方根误差评估统计图

结果表明：2017-2019 年环境空气质量数值预报平均 24h、48h、72h 各单项污染物浓度均方根误差，O₃ 最大，三年平均为 43.4；其次是 PM₁₀，三年平均为

22.1; PM_{2.5}和NO₂分别为13.1和11.0; CO和SO₂比较小,不超过5.0。

(1-3) 相关系数

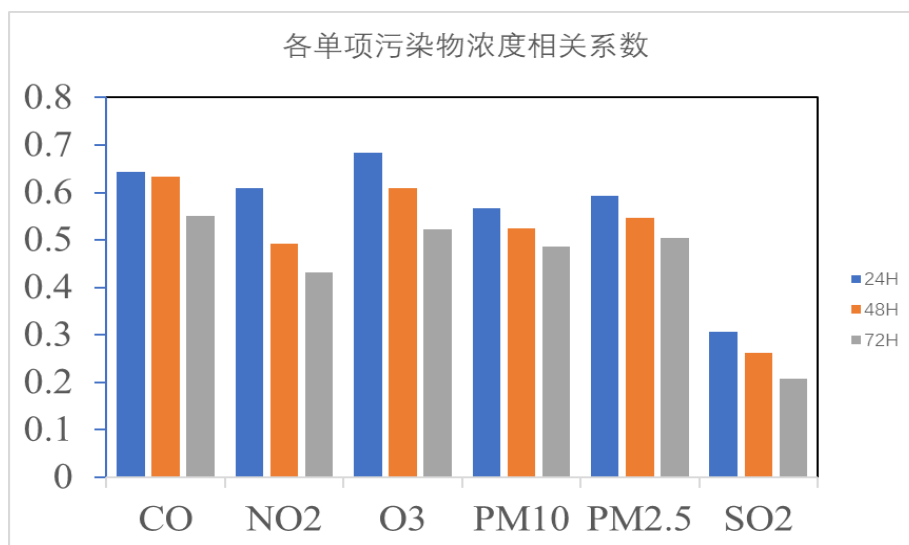


图 4-3 多时效环境空气质量数值预报各单项污染物浓度相关系数评估统计图

结果表明:2017年环境空气质量数值预报与实测24h、48h、72h各单项污染物浓度相关系数大部分在0.5-0.6之间,SO₂的相关系数较低,三年平均为0.26。

(2) AQI 范围预报准确率评估

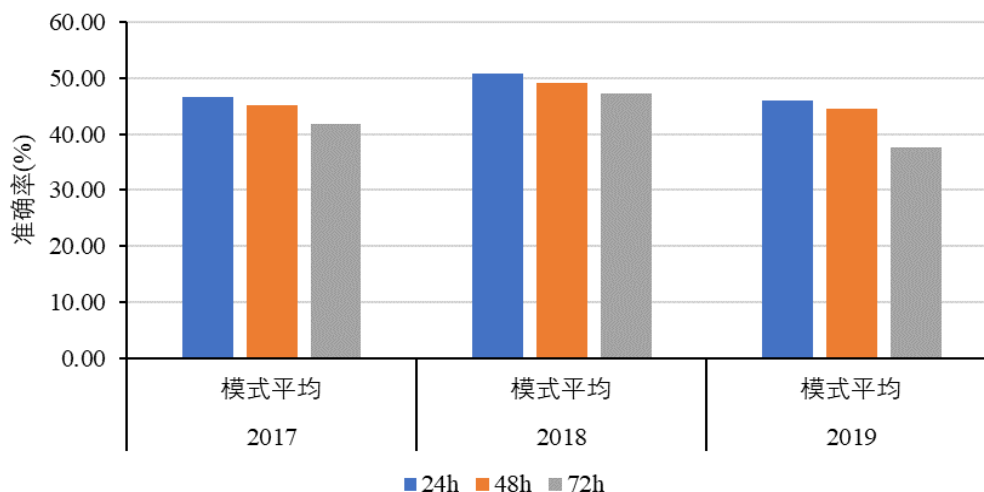


图 4-4 多时效环境空气质量数值预报平均 AQI 范围预报准确率评估统计图

结果表明:2017年环境空气质量数值预报模式平均24h、48h、72h AQI 范

围预报准确率分别为 46.64%、45.17%、41.88%，2018 年为 50.72%、49.20%、47.16%，2019 年为 46.01%、44.55%、37.54%，三年统一计算结果为 47.80%、46.27%、42.11%；2017-2019 年 AQI 未来 24h、48h、72h 数值模拟 AQI 范围预报准确率均呈微弱下降趋势，其中 72h 下降趋势最大，其次是 48h，24h 下降趋势最小，几乎不变。

(3) AQI 级别预报准确率评估

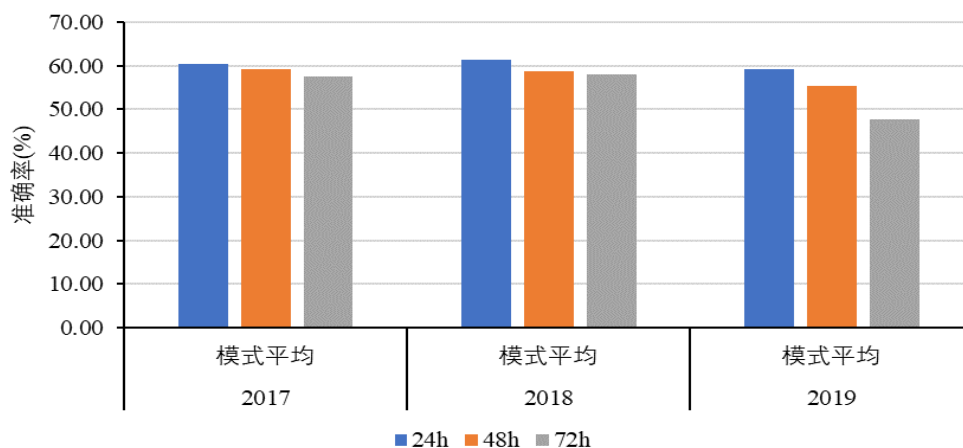


图 4-5 多时效环境空气质量数值预报模式平均 AQI 级别预报准确率评估统计图

结果表明：2017 年环境空气质量数值预报模式平均 24h、48h、72h AQI 级别预报准确率分别为 60.46%、59.32%、57.48%，2018 年为 61.34%、58.68%、57.93%，2019 年为 59.16%、55.31%、47.70%，三年统一计算结果为 60.48%、57.76%、54.20%；2017-2019 年 AQI 未来 24h、48h、72h 数值模拟 AQI 级别预报准确率均呈微弱下降趋势。其中 72h 下降趋势最大，其次是 48h，24h 下降趋势最小，几乎不变。

(4) 首要污染物预报准确率评估

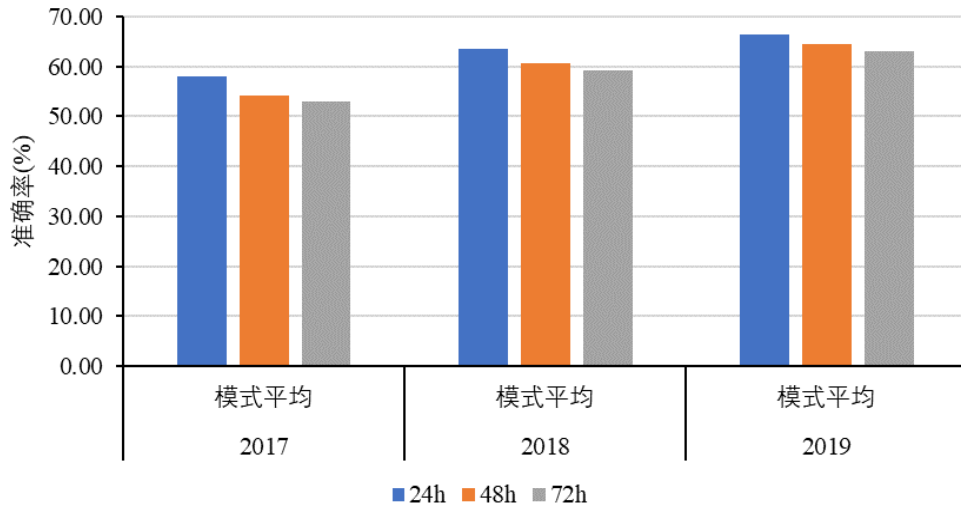


图 4-6 多时效环境空气质量数值预报模式平均首污预报准确率评估统计图

结果表明：2017 年环境空气质量数值预报模式平均 24h、48h、72h AQI 首污预报准确率分别为 58.02%、54.17%、52.93%，2018 年为 63.51%、60.56%、59.16%，2019 年为 66.49%、64.46%、63.11%，三年统一计算结果为 62.62%、60.24%、59.34%；2017-2019 年 AQI 未来 24h、48h、72h 数值模拟 AQI 首污预报准确率均呈上升趋势。其中 72h 下降趋势最大，其次是 48h，24h 下降趋势最小，几乎不变。

(5) 污染天预报准确率

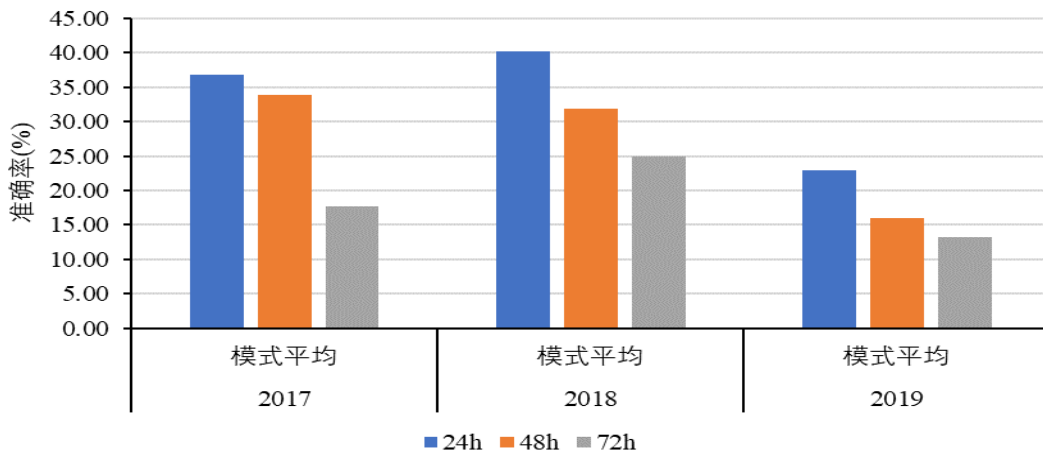


图 4-7 多时效环境空气质量数值预报模式平均污染天预报准确率评估统计图

结果表明：2017 年环境空气质量数值预报模式平均 24h、48h、72h AQI 污染天预报准确率分别为 58.02%、54.17%、52.93%，2018 年为 63.51%、60.56%、

59.16%，2019年为66.49%、64.46%、63.11%，三年统一计算结果为62.62%、60.24%、59.34%；2017-2019年AQI未来24h、48h、72h数值模拟AQI未来24h、48h、72h污染天预报准确率均呈下降趋势，其中48h下降最明显，其次是24h，最后是72h。

(6) 评估结论

按照深圳市环境空气质量预警预报技术规范中制定的效果评估方法分别对深圳市环境空气质量数值模式2017-2019年CAMx、CMAQ、NAQPMS、WRFC四个模式预报24h、48h、72h三个预报时效的模拟性能进行分析评估，结果表明技术规范制定的评估方法对数值预报方式适用。

4.6.3.2 环境空气质量统计预报

按照深圳市环境空气质量预警预报技术规范中制定的效果评估方法对2019年深圳市环境空气质量统计预报效果进行了分析评估。结果表明：未来三天的空气质量统计AQI级别准确率在75%-82%之间，24h、48h、72hAQI级别预报准确率分别为80%、78%和74%；AQI范围预报方面，统计预报结果准确率基本在60%以上，但在秋季的准确率较低，24h、48h、72hAQI级别范围预报准确率分别为63%、60%和59%；另外，在对首要污染物的预报中，统计预报的准确率较稳定，全年都在60%左右，24h、48h、72h首要污染物预报准确率分别为65%、61%和61%。结果表明技术规范制定的评估方法对统计预报方式适用。

表 4.1 2019 年深圳市环境空气质量统计预报效果评估结果统计

评价指标	春季 (3月-5月)			夏季 (6月-8月)			秋季 (9月-11月)			冬季 (12月-2月)			全年		
	24h	48h	72h	24h	48h	72h	24h	48h	72h	24h	48h	72h	24h	48h	72h
AQI 级别	82%	81%	76%	78%	76%	72%	78%	75%	71%	82%	79%	77%	80%	78%	74%
AQI 范围	63%	60%	58%	75%	72%	70%	50%	49%	48%	64%	58%	58%	63%	60%	59%
首要污染物	61%	54%	53%	70%	70%	69%	60%	58%	55%	60%	61%	58%	65%	61%	61%

5 与开题报告的差异说明

无

6 标准实施建议

本标准以目前国内外主流的环境空气质量数值预报模式和统计预报模式研究发展为基础，结合国内环境监测领域开展环境空气质量业务预报的实践应用，以及深圳市空气质量预报预警工作的实际情况，规定了最基础的空气质量预报模式要求，其适用范围限定在深圳市环境监测领域的环境空气质量业务预报中。

7 参考文献

- [1] Bieser, J., A. Aulinger, V. Matthias, M. Quante and P. Builtjes (2011). SMOKE for Europe adaptation, modification and evaluation of a comprehensive emission model for Europe. *Geoscientific Model Development* 4(1): 47-68.
- [2] Chang, J. C., Hanna, S. R. (2004). Air quality model performance evaluation. *Meteorology and Atmospheric Physics*, 87(1), 167-196.
- [3] Cox, W. M. (1992). Protocol for determining the best performing model (No. PB-93-226082/XAB; EPA--454/R-92/025). Environmental Protection Agency, Research Triangle Park, NC (United States). Technical Support Div..
- [4] Davis, C., B. Brown, and R. Bullock, 2006: Object-based verification of precipitation forecasts. Part I: Methods and application to mesoscale rain areas. *Mon. Wea. Rev.*, 134, 1772-1784.
- [5] Derwent, D., Fraser, A., Abbott, J., Jenkin, M., Willis, P., & Murrells, T. (2010). Evaluating the performance of air quality models. Report prepared for the UK Department for Environment, Food and Rural Affairs. Ebert, E.E., 2008: Fuzzy verification of high resolution gridded forecasts: A review and proposed framework. *Meteorol. Appl.*, 15, 51-64.
- [6] Li, M., Q. Zhang, J. Kurokawa, J. H. Woo, K. B. He, Z. F. Lu, T. Ohara, Y. Song, D. G. Streets, G. R. Carmichael, Y. F. Cheng, C. P. Hong, H. Huo, X. J. Jiang, S. C. Kang, F. Liu, H. Su and B. Zheng (2017). MIX: a mosaic Asian anthropogenic emission inventory under the international collaboration framework of the MICS-Asia and HTAP. *Atmospheric Chemistry And Physics* 17(2): 935-963.
- [7] Murphy, A. H. (1993). What is a good forecast? An essay on the nature of goodness in weather forecasting. *Weather and forecasting*, 8(2), 281-293.
- [8] Pagowski, M., G. A. Grell, S. A. McKeen, S. E. Peckham, and D. Devenyi(2010), Three-dimensional variational data assimilation of ozone and fine particulate matter observations: Some results using the Weather Research and Forecasting—Chemistry model and Grid-point Statistical Interpolation, *Q. J.R. Meteorol. Soc.*, 136(653), 2013–2024, doi:10.1002/qj.700.
- [9] Streets, D. G., T. C. Bond, G. R. Carmichael, S. D. Fernandes, Q. Fu, D. He, Z. Klimont, S. M. Nelson, N. Y. Tsai, M. Q. Wang, J. H. Woo and K. F. Yarber (2003). An inventory of gaseous and primary aerosol emissions in Asia in the year 2000. *Journal of Geophysical Research-Atmospheres* 108(D21).
- [10] Stockwell W R, Middleton P, Chang J S, et al. The second generation regional acid deposition

- model chemical mechanism for regional air quality modeling[J]. *Journal of Geophysical Research: Atmospheres*, 1990, 95(D10): 16343-16367.
- [11] Stockwell W R, Kirchner F, Kuhn M, et al. A new mechanism for regional atmospheric chemistry modeling[J]. *Journal of Geophysical Research: Atmospheres*, 1997, 102(D22): 25847-25879.
- [12] Torseth, K., W. Aas, K. Breivik, A. M. Fjaeraa, M. Fiebig, A. G. Hjellbrekke, C. L. Myhre, S. Solberg and K. E. Yttri (2012). Introduction to the European Monitoring and Evaluation Programme (EMEP) and observed atmospheric composition change during 1972-2009. *Atmospheric Chemistry And Physics* 12(12): 5447-5481.
- [13] Wang, S. S., J. Y. Zheng, F. Fu, S. S. Yin and L. J. Zhong (2011). Development of an emission processing system for the Pearl River Delta Regional air quality modeling using the SMOKE model: Methodology and evaluation. *Atmospheric Environment* 45(29): 5079-5089.
- [14] Yu, S., Eder, B., Dennis, R., Chu, S. H., & Schwartz, S. E. (2006). New unbiased symmetric metrics for evaluation of air quality models. *Atmospheric Science Letters*, 7(1), 26-34.
- [15] Yu, S., Mathur, R., Schere, K., Kang, D., Pleim, J., Young, J., ... & Rao, S. T. (2008). Evaluation of real - time PM_{2.5} forecasts and process analysis for PM_{2.5} formation over the eastern United States using the Eta - CMAQ forecast model during the 2004 ICARTT study. *Journal of Geophysical Research: Atmospheres*, 113(D6).
- [16] 白晓平, 李红, 方栋,等. 资料同化方法在空气污染数值预报中的应用研究[J]. *环境科学*, 2008, 29(2):283-289.
- [17] 白永清, 祁海霞, 刘琳,等. 华中区域环境气象数值预报系统及其初步应用[J]. *高原气象*, 2016, V35(6):1671-1682.
- [18] 曹国良, 张小曳, 龚山陵, 等.中国区域主要颗粒物及污染气体的排放源清单, *科学通报*, 2011,56 (3): 261-268.
- [19] 房小怡, 蒋维楣, 吴润等.城市空气质量数值预报模式系统及其应用[J]. *环境科学学报*, 2004(01):111-115.
- [20] 国家气象中心.《中期天气预报》(GB/T 27956-2011), 2011.
- [21] 国家气象中心.《数值天气预报产品检验规范》(GB/T 34303-2017), 2017.
- [22] 国家气象中心.《短期天气预报》(GB/T 21984-2017), 2017。
- [23] 何金梅, 刘抗, 王玉红,等. CUACE 模式在兰州城市空气质量预报中的检验订正[J]. *干旱气象*, 2017, 35(3):495-501.
- [24] 贺克斌, 余学春, 陆永琪, 郝吉明, 等. 城市大气污染物来源特征. *城市环境与城市生态* 2003,16(6): 269-271.
- [25] 环境保护部. 扬尘源颗粒物排放清单编制技术指南(试行). 2014.
- [26] 环境保护部. 生物质燃烧源大气污染物排放清单编制技术指南(试行). 2014.
- [27] 环境保护部. 大气细颗粒物一次源排放清单编制技术指南(试行). 2014.
- [28] 环境保护部. 大气挥发性有机物源排放清单编制技术指南(试行). 2014.
- [29] 环境保护部. 大气氨源排放清单编制技术指南(试行). 2014.
- [30] 环境保护部. 大气可吸入颗粒物一次源排放清单编制技术指南(试行). 2014.
- [31] 环境保护部. 道路机动车大气污染物排放清单编制技术指南(试行). 2014.
- [32] 环境保护部. 非道路移动源大气污染物排放清单编制技术指南(试行). 2014.
- [33] 胡建林. 珠江三角洲污染源排放清单研究[D]. 2005.
- [34] 黄成, 陈长虹, 李莉, 等. 长江三角洲地区人为源大气污染物排放特征研究. *环境科学学报*,2011. 31(9): 1858-1871.

- [35] 李杰, 杨文夷, 陈焕盛, 等. 东亚大气可吸入颗粒物时空分布的数值模拟研究[J]. 环境科学学报, 2014,34(3): 548-557
- [36] 刘峻峰, 李金龙, 白郁华. 大气光化学烟雾反应机理比较(II)HO_x 和光化学氧化产物的比较[J]. 环境化学, 2001, 20(4):313-319.
- [37] 刘琳, 白永清, 林春泽,等. 华中区域空气质量数值预报系统评估及气溶胶辐射效应的模拟研究[J]. 气象, 2018, 44(09):65-76.
- [38] 娄珊珊,陈光舟,邱学兴.WRF 不同参数化方案对安徽一次暴雨过程模拟的影响分析[J]. 气象科学,2015,35(03):370-378.
- [39] 潘锦秀, 朱彬, 晏平仲, 等. 京津冀区域重污染天气过程数值预报评估新方法[J]. 环境科学学报,2016,36(8): 2752-2760
- [40] 唐孝炎, 张远航和邵敏. 大气环境化学(第二版) [M].高等教育出版社. 2006.
- [41] 田贺忠, 郝吉明, 陆永琪,等. 中国氮氧化物排放清单及分布特征. 中国环境科学, 2001,21(6): 493-497.
- [42] 王茜,伏晴艳,王自发,等.集合数值预报系统在上海市空气质量预测预报中的应用研究[J]. 环境监控与预警,2010,02(4):1-6,11.
- [43] 王自发, 谢付莹, 王喜全,等. 嵌套网格空气质量预报模式系统的发展与应用. 大气科学,2006,30(5): 778-790.
- [44] 王自发, 吴其重, Alex Ghaguidi,等.北京空气质量多模式集成预报系统的建立及初步应用. 南京信息工程大学学报: 自然科学版,2009,1(9): 19-26
- [45] 王哲, 王自发, 李杰,等.气象-化学双向耦合模式(WRF—NAQPMS)研制及其在京津冀秋季重霾模拟中的应用[J]. 气候与环境研究, 2014, 19(2):153-163.
- [46] 王开燕, 邓涛, 邓雪娇,等. 珠三角空气质量数值预报系统的检验与订正研究[J]. 环境科学与管理, 2017, 42(1):47-49.
- [47] 谢敏,钟流举,陈焕盛. CMAQ 模式及其修正预报在珠三角区域的应用检验[J]. 环境科学与技术, 2012, 35 (2): 96-101.
- [48] 徐祥德. 城市大气环境观测工程技术与原理[M]. 2003.
- [49] 薛亦峰, 闫静, 钟连红,等. PM_{2.5} 源解析方法及控制对策研究[C].中国环境科学学会 pm_{2.5} 监测及防治技术高级研讨会. 2012.
- [50] 杨文夷, 李杰, 陈焕盛等. 东亚边界层臭氧时空分布的数值模拟研究.中国环境科学, 2014,34(7):1633-1641
- [51] 曾新民, 吴志皇, 宋帅,等. WRF 模式不同陆面方案对一次暴雨事件模拟的影响[J]. 地球物理学报, 2012, 55(1):16-28.
- [52] 张宁娜, 黄阁, 吴曼丽, 等. 2010 年国内外 3 种数值预报在东北地区的预报检验[J]. 气象与环境学报, 2012, 28(2):28-34.
- [53] 张强, Z. Klimont, D. Streets, 霍红, 贺克斌. 中国人为源颗粒物排放模型及 2001 年排放清单估算. 自然科学进展. 2006, 16(2): 223-231.
- [54] 张远航, 李金龙, 唐孝炎. 一个液相化学反应机理的建立和应用[J]. 环境科学学报, 1993, 13(4):460-472.
- [55] 张碧辉, 刘树华, 马雁军. MYJ 和 YSU 方案对 WRF 边界层气象要素模拟的影响[J]. 地球物理学报, 2012, 55(7):2239-2248.
- [56] 赵斌,马建中.天津市大气污染源排放清单的建立[J].环境科学学报,2008(02):368-375.
- [57] 朱莉莉, 晏平仲, 王自发等.江苏省区域空气质量数值预报模式效果评估.中国环境监测.2015,31(2):17-23.
- [58] 中国环境监测总站.《环境空气质量标准》(GB3095-2012) . 2012.

- [59] 中国环境监测总站.《环境空气质量监测点位布设技术规范(试行)》(HJ664-2013). 2013.
- [60] 中国环境监测总站. 环境空气质量预报预警方法技术指南(第一版)[M]. 中国环境出版社. 2014.
- [61] 中国环境监测总站. 环境空气质量预报预警方法技术指南(第二版)[M]. 中国环境出版社.2017.
- [62] 周晶, 易晓娟, 刘佳泓. 大气污染物排放清单研究现状[C]// 2014 中国环境科学学会学术年会.
- [63] 陈楠. 成都经济圈(城市群)污染源排放清单[D]. 西南交通大学, 2011.
- [64] 叶斯琪, 黄思远, 陈多宏等. 统计模型在城市空气质量预报中的应用[J]. 环境工程, 2018年第36卷增刊.

8 附件

附件 1 《征求意见稿》征求意见及采纳情况

本标准广泛征求了公众、生态环境局各相关科室的意见，书面或会议征求了中国环境监测总站、广东省环境监测中心、香港科技大学、中山大学、上海市环境监测中心、广州市环境监测中心站、深圳市标准技术研究院、深圳市环境监测协会、深圳市气象局（台）、深圳市环境科学研究院、深圳市坪山环境监测站等多家科研院所/单位的意见。主要意见和建议有 33 条，其中采纳了 31 条，并对 2 条进行了解释，详见《征求意见汇总处理表》。

附件 2 《征求意见稿》专家评审意见

《环境空气质量预报预警技术规范（征求意见稿）》 专家意见

2020年8月14日，深圳市环境监测中心站组织召开《环境空气质量预报预警技术规范（征求意见稿）》（以下简称《技术规范》）专家评审会。编制组提交了《技术规范》和编制说明，评审专家（名单附后）听取了编制组的汇报，经过讨论与质询，形成意见如下：

一、编制组提交的文档资料完整、规范，符合编制要求。

二、该《技术规范》可为深圳市进一步做好环境空气质量预报预警和大气污染精准防控工作提供有效的技术支持。

三、该《技术规范》针对深圳市环境空气质量预报预警工作和管理需求，提出精细化、本地化、可操作性强的地方标准，具有较强的科学性和适用性。

专家组一致同意该《技术规范》通过评审，并建议编制组根据专家意见修改完善后尽快形成送审稿，并报请市有关主管部门发布实施。

评审专家：

陈多宝 李 姚 许 刘

2020年8月14日